

See discussions, stats, and author profiles for this publication at: <https://www.researchgate.net/publication/252789361>

# Motion of a rigid body with movable point mass

Article · May 1976

---

CITATIONS

6

READS

18

1 author:



Dmytro Leshchenko

Odessa State Academy of Civil Engineering and Architecture

214 PUBLICATIONS 221 CITATIONS

[SEE PROFILE](#)

Some of the authors of this publication are also working on these related projects:



Evolution of rotations of a rigid body close to the Lagrange case under the action of nonstationary torque of forces [View project](#)

## О ДВИЖЕНИИ ТВЕРДОГО ТЕЛА С ПОДВИЖНОЙ ТОЧЕЧНОЙ МАССОЙ

Д. Д. Лещенко

(Одесса)

В работе [1] исследовано движение твердого тела, обладающего динамической симметрией и несущего подвижную материальную точку, прикрепленную при помощи упругой связи к точке на оси симметрии. В данной работе рассматривается задача о движении вокруг центра инерции динамически несимметричного твердого тела, несущего подвижную массу, соединенную с телом посредством упругой связи с вязким трением. Применяется схема осреднения по движению Эйлера – Пуансо, предложенная Ф. Л. Черноуско в [2]. Как частный случай, изучается движение динамически симметричного свободного твердого тела с подвижной точечной массой, прикрепленной к точке на оси симметрии в экваториальной плоскости центрального эллипсоида инерции.

1. Рассмотрим движение динамически несимметричного твердого тела вокруг центра инерции, к которому в точке  $O_1$ , расположенной на одной из главных осей инерции, прикреплена при помощи упругой связи точка массы  $m$ .

Начало декартовой системы координат, связанной с твердым телом, располагается в центре инерции  $C$  системы, состоящей из тела и подвижной массы, а орты системы  $e_1, e_2, e_3$  направлены так, что орт  $e_3$  совпадает с осью, на которой расположена точка  $O_1$ . Тогда радиус-вектор точки  $O_1$   $\rho = \rho e_3$ , причем, не нарушая общности, примем  $\rho > 0$ .

Если при исследовании движения твердого тела ограничиться условиями, при которых можно учитывать лишь вынужденные движения точки  $m$  относительно тела, пренебрегая ее свободными колебаниями, то, согласно [1], имеем

$$\Omega^2 \gg \lambda \gg 1, \quad \Omega^2 = c/m, \quad \lambda = \delta/m \quad (1.1)$$

Здесь  $c$  – жесткость упругой связи соединения подвижной точки  $m$  с точкой  $O_1$  твердого тела,  $\delta$  – коэффициент вязкого трения.

При указанных предположениях уравнение движения твердого тела с тензором инерции  $I_c^*$  и подвижной массы записывается в векторной форме (см. (3.11) работы [1])

$$I_c^* \cdot \omega' + (\omega \times I_c^* \cdot \omega) = \Phi(\omega) + O(\Omega^{-4}, \lambda^2 \Omega^{-6}) \quad (1.2)$$

После вычисления вектор-функции  $\Phi$  по схеме [1] для рассматриваемой задачи уравнение (1.2) в проекциях на оси  $e_1, e_2, e_3$  выражается следующим образом:

$$\begin{aligned} I_1 \omega_1' + (I_3 - I_2) \omega_2 \omega_3 &= -\rho^2 m \{ \Omega^{-2} \omega_2 \omega_3 (A_1 \omega_1^2 + B_1 \omega_2^2 + C_1 \omega_3^2) + \\ &+ \lambda \Omega^{-4} \omega_1 [\omega_2^2 (L_1 \omega_1^2 + M_1 \omega_2^2 + N_1 \omega_3^2) + \omega_3^2 (R_1 \omega_1^2 + S_1 \omega_3^2)] \} \\ I_2 \omega_2' + (I_1 - I_3) \omega_3 \omega_1 &= -\rho^2 m \{ \Omega^{-2} \omega_3 \omega_1 (A_2 \omega_2^2 + C_2 \omega_3^2 + B_2 \omega_1^2) + \\ &+ \lambda \Omega^{-4} \omega_2 [\omega_3^2 (L_2 \omega_2^2 + M_2 \omega_3^2 + N_2 \omega_1^2) + \omega_1^2 (R_2 \omega_2^2 + S_2 \omega_1^2)] \} \\ I_3 \omega_3' + (I_2 - I_1) \omega_1 \omega_2 &= -\rho^2 m \lambda \Omega^{-4} \omega_3^3 I_1^{-1} I_2^{-1} \times \\ &\times (I_1 + I_3 - I_2) (I_2 + I_3 - I_1) [(I_1 - I_3) I_2^{-1} \omega_1^2 + (I_2 - I_3) I_1^{-1} \omega_2^2] \end{aligned} \quad (1.3)$$

Здесь  $I_i$  ( $i=1,2,3$ ) – главные моменты инерции твердого тела. Коэффициенты  $A_j, B_j, \dots$  ( $j=1,2$ ) в правых частях системы (1.3) представляют собой определенные выражения, составленные из  $I_i$ . Ввиду громоздкости этих выражений, в статье они не приводятся. Заметим, что при  $I_1=I_2$  система (1.3) сводится к системе (5.5) работы [1], полученной для динамически симметричного тела с подвижной массой на оси симметрии.

Согласно (1.1), в уравнениях движения (1.3) величины  $\Omega^{-2}, \lambda \Omega^{-4}$  – малые параметры. Предполагаем, что они одного порядка  $\varepsilon$ .

Для решения задачи воспользуемся методом осреднения [3] по движению Эйлера – Пуансо в форме, предложенной в работе Ф. Л. Черноуско [2].

Погрешность осредненного решения для медленных переменных составляет величину порядка  $\varepsilon$  на интервале времени, за который тело совершил  $\sim \varepsilon^{-1}$  обо- ротов.

Примем, не нарушая общности,  $I_1 > I_2 > I_3$ . Рассмотрим движение при условии  $2T I_1 \geq \Gamma^2 \geq 2T I_2$ , соответствующем траекториям вектора кинетического момента, охватывающим ось, вокруг которой момент инерции  $I_1$  – наибольший. В последнем неравенстве  $T = \frac{1}{2} (I_1 \omega_1^2 + I_2 \omega_2^2 + I_3 \omega_3^2)$  – кинетическая энергия тела,  $\Gamma^2 = I_1^2 \omega_1^2 + I_2^2 \omega_2^2 + I_3^2 \omega_3^2$  – квадрат величины кинетического момента.

Введем функцию

$$k_2 = \frac{(I_2 - I_3)(2TI_1 - \Gamma^2)}{(I_1 - I_2)(\Gamma^2 - 2TI_3)} \quad (0 \leq k \leq 1) \quad (1.4)$$

Значение  $k=0$  соответствует вращению вокруг оси с моментом инерции  $I_1$ , значение  $k=1$  — движению по сепаратрисе.

Используя (1.3), (1.4), выразим производные  $d\Gamma^2/dt$ ,  $dk^2/dt$  через  $\omega_1$ ,  $\omega_2$ ,  $\omega_3$ ,  $\Gamma$ ,  $T$ . Затем выражим функции  $\omega_1$ ,  $\omega_3$  из выражений для  $T$  и  $\Gamma^2$  через  $\Gamma$ ,  $T$ ,  $\omega_2$ , а  $T$  — через  $\Gamma$  и  $k^2$  с помощью (1.4). После этих преобразований получим систему вида

$$\frac{d\Gamma^2}{dt} = ef_1(\Gamma, k^2, \omega_2), \quad \frac{dk^2}{dt} = ef_2(\Gamma, k^2, \omega_2) \quad (1.5)$$

где функции  $f_1$ ,  $f_2$  — многочлены шестой степени относительно  $\omega_2$ . Заметим, что функция  $k^2$  так же как  $\Gamma^2$  и  $T$ , является медленно меняющейся переменной. Поэтому следуя методу осреднения, в первом приближении в (1.5) подставляем функцию  $\omega_2(t)$  из невозмущенного движения Эйлера — Пуансо [4] с периодом  $\tau$

$$\omega_2 = \left[ \frac{2TI_1 - \Gamma^2}{I_2(I_1 - I_2)} \right]^{\frac{1}{2}} \sin \left[ \frac{t-t_0}{\tau} 4K(k), k \right] \quad (1.6)$$

После исключения  $T$  в (1.6) при помощи (1.4) правые части (1.5) осредняются по периоду  $\tau$  движения Эйлера — Пуансо.

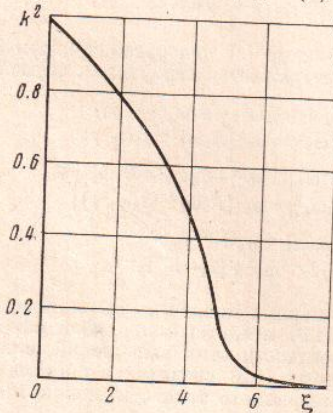
Используя формулы для интегралов от эллиптических функций [5], получим систему осредненных уравнений в виде

$$\frac{d\Gamma^2}{dt} = - \frac{2\rho^2 m \lambda \Omega^{-4} \Gamma^6}{[I_1(I_2 - I_3) + I_3(I_1 - I_2)k^2]^3} \left[ a + bk^2 + dk^4 - \frac{E(k)}{K(k)} (a + gk^2 + hk^4) \right] \quad (1.7)$$

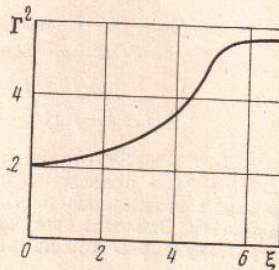
$$\frac{dk^2}{dt} = - \frac{2\rho^2 m \lambda \Omega^{-4} \Gamma^4}{[I_1(I_2 - I_3) + I_3(I_1 - I_2)k^2]^2} \left[ l + nk^2 + pk^4 + rk^6 - \frac{E(k)}{K(k)} (l + sk^2 + uk^4 + vk^6) \right]$$

Здесь  $a$ ,  $b$ , ... — вполне определенные выражения, содержащие  $I_i$ , они не приводятся из-за громоздкости;  $K(k)$ ,  $E(k)$  — полные эллиптические интегралы соответственно первого и второго рода.

Эволюция квадрата величины кинетического момента является отличительной особенностью данной задачи, в то время как в случае динамически симметричного тела с



Фиг. 1



Фиг. 2

подвижной точечной массой, прикрепленной на оси симметрии [1],  $\Gamma^2 = \text{const}$ .

Введем  $\xi = 2\rho^2 m \lambda \Omega^{-4} t$  и найдем численно на ЭВМ для  $\xi \geq 0$  решение системы (1.7) при начальных условиях  $k^2(0) = 0.99$ ,  $\Gamma^2(0) = 2$ . Значение  $k^2(0) = 0.99$  соответствует движению, близкому к переходу через сепаратрису. Принимаем, кроме того,  $I_1 = 3$ ,  $I_2 = 2$ ,  $I_3 = 1$ . На фиг. 1, 2 изображены графики функций  $k^2$ ,  $\Gamma^2$ , полученные в результате численного интегрирования.

Как видно из графиков,  $k^2$  монотонно убывает до нуля при  $\xi$ , растущем от 0 до  $\infty$ , при этом  $\Gamma^2$  возрастает от 2 до 5.61497, достигая своего максимального постоянного значения.

Увеличение кинетического момента тела связано с увеличением скорости изменения собственного кинетического момента подвижной массы, которая и обуславливает динамическое воздействие на основное тело.

Случай  $2TI_2 \geq \Gamma^2 \geq 2TI_3$ , соответствующий траекториям, охватывающим ось наименьшего момента инерции  $I_3$ , рассматривается аналогично, причем для получения решения нужно поменять местами  $I_1$  и  $I_3$  в формулах (1.4), (1.6), (1.7).

Взяв из приведенных графиков значения функций  $k^2$ ,  $\Gamma^2$  при помощи (1.4) или

$$k^2 = [(I_2 - I_1)(2TI_3 - \Gamma^2)] / [(I_3 - I_2)(\Gamma^2 - 2TI_1)]$$

можно найти изменение энергии  $T$  в любом конкретном случае.

Таким образом, получаем описание пелинейного процесса перестройки движения тела при наличии внутренних упругих и диссипативных сил, который представляет собой движение Эйлера — Пуансо с изменяющимися кинетической энергией и величиной кинетического момента. Характерное время этого процесса  $\sim 1/2\Omega^4 \rho^2 m \lambda$ . Движение тела стремится к вращению вокруг оси наибольшего момента инерции  $I_1$ .

2. В качестве частного случая исследуем движение вокруг центра инерции тела, обладающего динамической симметрией и несущего подвижную точку  $m$ , которая соединена упругой связью с точкой  $O_1$ , расположенной в отличие от [1] не на оси динамической симметрии, а в экваториальной плоскости центрального эллипсоида инерции. Орт  $e_1$  декартовой системы координат, связанной с твердым телом, совпадает с осью, на которой расположена точка прикрепления подвижной массы.

Уравнение для вектора  $\omega$  в проекциях на оси с ортами  $e_1, e_2, e_3$  можно получить, следя [1], или из (1.3) циклической перестановкой  $I_1, I_2, I_3, \omega_1, \omega_2, \omega_3$ , полагая при этом  $I_1 = I_2 = I$ .

В результате, с использованием всех допущений п. 1, уравнения запишутся следующим образом:

$$\begin{aligned} I\omega_1' + (I_3 - I)\omega_2\omega_3 &= -\rho^2 m \lambda \Omega^{-4} (1 - I_3 I^{-1}) (I_3 I^{-1} - 2) \omega_1^3 \omega_3^2 \quad (2.1) \\ I\omega_2' + (I - I_3)\omega_3\omega_1 &= -\rho^2 m \{\Omega^{-2}\omega_1\omega_3 [(-4 + 3I_3 I^{-1})(\omega_1^2 + \omega_2^2) + \\ &+ (-4 + 6I_3 I^{-1} - 4I_3^2 I^{-2} + I_3^3 I^{-3})\omega_3^2] + \lambda \Omega^{-4} (1 - I_3 I^{-1}) \omega_2 \omega_3^2 \times \\ &\times [-2I_3 I^{-1} \omega_1^2 + (2 - 3I_3 I^{-1}) \omega_2^2 - I_3 I^{-1} (2 - I_3 I^{-1})^2 \omega_3^2]\} \\ I_3 \omega_3' &= -\rho^2 m \{\Omega^{-2} \omega_2 \omega_1 [\omega_2^2 + (6 - 12I_3 I^{-1} + 7I_3^2 I^{-2}) \omega_3^2 + \omega_1^2] + \\ &+ \lambda \Omega^{-4} (1 - I_3 I^{-1}) [\omega_3 \omega_1^2 (2\omega_2^2 + 2(2 - 3I_3 I^{-1})(1 - I_3 I^{-1}) \omega_3^2 + \omega_1^2) + \\ &+ \omega_3 \omega_2^2 (\omega_2^2 + I_3 I^{-1} (6 - 5I_3 I^{-1}) \omega_3^2)]\} \end{aligned}$$

Задача решается методом осреднения [3]. Первые интегралы невозмущенной системы ( $\varepsilon=0$ ) в рассматриваемом случае являются медленными переменными. Выполнение процедуры осреднения по периоду движения Эйлера в случае динамической симметрии [4], для производных по времени от медленных переменных с учетом (2.1) получим

$$\begin{aligned} \omega_3' &= -\rho^2 m \lambda \Omega^{-4} \omega_3 [1 + 1/2 \omega_3^2 (2 - I_3 I^{-1})^2], \quad \chi = (I - I_3) I^{-1} I_3^{-1} \quad (2.2) \\ \Gamma^2 &= 0, \quad T' = -\rho^2 m \lambda \Omega^{-4} (1 - I_3 I^{-1})^2 \omega_3^2 [1 + 1/2 \omega_3^2 (4 - 7I_3 I^{-1} + I_3^2 I^{-2})] \end{aligned}$$

Обратим внимание на то, что в первом приближении для рассматриваемого тела  $\Gamma^2 = \text{const}$ . Интегрирование первого уравнения (2.2) дает

$$\omega_3^2 = \frac{2}{(2 - I_3 I^{-1})^2} \frac{C_1 \exp(-2\rho^2 m \lambda \Omega^{-4} \chi t)}{1 - C_1 \exp(-2\rho^2 m \lambda \Omega^{-4} \chi t)} \quad (2.3)$$

Из равенства (2.3), в котором  $C_1$  — произвольная постоянная, видно, что при  $I > I_3$  с ростом  $t$  величина  $\omega_3^2$  убывает. Если  $I < I_3$ , то  $\omega_3^2$  возрастает. В случае полной симметрии тела при  $I = I_3$  имеем  $\omega_3^2 = \text{const}$ .

Согласно уравнениям, определяющим ориентацию вектора  $\Gamma$  относительно твердого тела

$$I\omega_1 = \Gamma \sin \theta \cos \varphi, \quad I\omega_2 = \Gamma \sin \theta \sin \varphi, \quad I_3 \omega_3 = \Gamma \cos \theta \quad (2.4)$$

Применяя выводы о характере изменения  $\omega_3$ , полученные из анализа (2.3), из (2.4) следует, что с ростом  $t$  при  $I > I_3 \cos \theta$  убывает и поэтому  $\theta \rightarrow 1/2\pi$ . При  $I < I_3 \cos \theta$  возрастает и  $\theta \rightarrow 0$ .

Таким образом, во всех случаях ось кинетического момента твердого тела  $\Gamma$  в системе координат, связанной с телом, приближается к оси наибольшего момента инерции.

Изменение кинетической энергии определяется из третьего уравнения (2.2) с учетом (2.3)

$$T = \frac{(I - I_3) I_3}{I(2 - I_3 I^{-1})^2} \left\{ \frac{4 - 7I_3 I^{-1} + I_3^2 I^{-2}}{2[1 - C_1 \exp(-2\rho^2 m \lambda \Omega^{-4} \kappa t)]} - \right. \\ \left. - \left[ 1 - \frac{1}{2} (4 - 7I_3 I^{-1} + I_3^2 I^{-2}) \right] \ln [1 - C_1 \exp(-2\rho^2 m \lambda \Omega^{-4} \kappa t)] \right\} \quad (2.5)$$

Окончательным движением будет вращение вокруг оси наибольшего момента инерции.

Автор благодарит Ф. Л. Черноуско за постановку задачи и ценные советы, А. А. Каспарьянца — за полезные обсуждения.

Поступила 9 XII 1974

#### ЛИТЕРАТУРА

1. Черноуско Ф. Л. О движении твердого тела с подвижными внутренними массами. Изв. АН СССР. МТТ, 1973, № 4.
2. Черноуско Ф. Л. Движение твердого тела с полостями, заполненными вязкой жидкостью, при малых числах Рейнольдса. Ж. вычисл. матем. и матем. физ., 1965, т. 5, № 6.
3. Волосов В. М., Моргунов Б. И. Метод осреднения в теории нелинейных колебательных систем. Изд-во МГУ, 1971.
4. Ландай Л. Д., Либшиц Е. М. Теоретическая физика, т. 1. Механика. М., «Наука», 1973.
5. Градштейн И. С., Рыжик И. М. Таблицы интегралов, сумм, рядов и произведений. М., «Наука», 1971.